

Efficacy Evaluation of Quercetin and Its Analogues on the Main Protease Enzyme of the COVID-19 Using Molecular Docking Studies

Tooba Abdizadeh^{1*} 

¹Clinical Biochemistry Research Center, Basic Health Sciences Institute, Shahrekord University of Medical Sciences, Shahrekord, Iran

Article Info

Article type:
Research article

Article History:

Received: 09 April 2022
Revised: 11 May 2022
Accepted: 16 May 2022
Published Online: 11 October 2022

*** Correspondence to:**

Tooba Abdizadeh
Clinical Biochemistry Research Center, Basic Health Sciences Institute, Shahrekord University of Medical Sciences, Shahrekord, Iran
Email:
abdizadeh.t@skums.ac.ir

A B S T R A C T

Introduction: COVID-19 is an acute respiratory infectious disease caused by the SARS-CoV-2 virus. There is an urgent need to discover antiviral drugs for better performance against new strains of coronaviruses (CoVs) due to the rapid spread of the disease despite scientific advances in vaccine development. This study aimed to evaluate the efficacy of quercetin and its analogues on the COVID-19 Mpro enzyme.

Material & Methods: In this descriptive-analytical study, the three-dimensional structures of quercetin analogues (20 compounds), standard drugs (ritonavir and lopinavir), and the COVID-19 Mpro enzyme were obtained from PubChem and PDB databases for bioinformatics study, respectively. Molecular docking studies of the compounds on the Mpro were performed using MOE-2014 software. Afterward, the physicochemical properties and biological activity of the compounds were predicted using Swiss ADME, PASS, and Swiss Target Prediction software.
(Ethic code: IR.SKUMS.REC.1399.117)

Findings: The findings of the present study showed that the most important bonds involved in drug-receptor binding are hydrogen, hydrophobic, and π - π interaction bonds. The best docking results were obtained for Baicalein, Genistein, Naringenin, and Quercetin compounds with strong binding energy (-12.83 to -13.54 kcal/mol), compared to ritonavir and lopinavir. These compounds have a greater tendency to bind to the catalytic amino acids His41 and Cys145 and other key amino acids of the active site of the COVID-19 Mpro enzyme.

Discussion & Conclusion: Based on the results of bioinformatics studies, quercetin analogues had more effective inhibition than standard chemical drugs due to their suitable placement in the active site of the main protease enzyme of COVID-19 and can be good candidates for *in vitro* and *in vivo* studies.

Keywords: Bioinformatics studies, Flavonoid, Physicochemical properties, SARS-CoV-2 virus

➤ How to cite this paper

Abdizadeh T. Efficacy Evaluation of Quercetin and Its Analogues on the Main Protease Enzyme of the COVID-19 Using Molecular Docking Studies. Journal of Ilam University of Medical Sciences. 2022;30(4): 66-85.



© The Author(s)

Publisher: Ilam University of Medical Sciences

بررسی اثربخشی کوئرستین و آنالوگ‌هایش بر آنژیم پروتاز اصلی کووید-۱۹ با استفاده از مطالعات داکینگ مولکولی

ID طوبی عبدالزاده*

مرکز تحقیقات بیوشیمی بالینی، پژوهشکده علوم پایه سلامت، دانشگاه علوم پزشکی شهرکرد، شهرکرد، ایران

چکیده

اطلاعات مقاله

نوع مقاله: پژوهشی

تاریخ دریافت: ۱۴۰۱/۰۱/۲۰

تاریخ ویرایش: ۱۴۰۱/۰۲/۲۱

تاریخ پذیرش: ۱۴۰۱/۰۲/۲۶

تاریخ انتشار: ۱۴۰۱/۰۷/۱۹

مقدمه: کووید-۱۹ بیماری عفونی تنفسی حاد است که توسط ویروس SARS-CoV-2 ایجاد می‌شود و با توجه به شیوع

سريع بیماری و علی رغم پیشرفت علمی انجامشده در توسعه واکسن، نیاز فوری به کشف داروهای ضدویروسی برای عملکرد بهتر در برابر سویه‌های جدید کرونایروس‌ها وجود دارد. در این تحقیق اثربخشی کوئرستین و آنالوگ‌هایش بر آنژیم پروتاز اصلی کووید-۱۹ ارزیابی شد.

مواد و روش ها: در این پژوهش توصیفی-تحلیلی، برای بررسی بیانفورماتیکی، ساختار سه‌بعدی آنالوگ‌های کوئرستین (۲۰ ترکیب)، داروهای استاندارد (ریتوناوبر و لوپیتاوبر) و آنژیم پروتاز اصلی کووید-۱۹ به ترتیب از پایگاه داده‌های PDB و PubChem دریافت گردید. مطالعات داکینگ مولکولی ترکیبات روی پروتاز اصلی با استفاده از نرم‌افزار Swiss MOE انجام شد؛ سپس خصوصیات فیزیکوشیمیایی و فعالیت بیولوژی ترکیبات با استفاده از نرم‌افزارهای Swiss Target Prediction و PASS پیش‌بینی گردید.

یافته‌ها: یافته‌های مطالعه حاضر نشان داد که مهم ترین پیوند‌های در گیر در اتصال دارو با گیرنده، پیوند هیدروژنی، برهمکنش‌های هیدرووفوب و $\pi-\pi$ هستند. بهترین نتایج داکینگ مربوط به ترکیبات Naringenin، Genistein، Baicalein و Quercetin با داشتن انرژی اتصال قوی ($-12\text{--}13\text{ kJ/mol}$) تا ($-54\text{--}55\text{ kJ/mol}$) داروهای ریتوناوبر و لوپیتاوبر است. این ترکیبات برای اتصال با آمینواسیدهای کاتالیتیکی His41 و Cys145 و دیگر آمینواسیدهای کلیدی جایگاه فعال آنژیم پروتاز اصلی تمایل بیشتری دارند.

بحث و نتیجه‌گیری: بر اساس نتایج بدست‌آمده از مطالعات بیانفورماتیکی، آنالوگ‌های کوئرستین به سبب قرار گیری مناسب در جایگاه فعال آنژیم پروتاز اصلی کووید-۱۹، مهار مؤثرتری را نسبت به داروهای شیمیایی استاندارد ایجاد می‌کنند و می‌توانند کاندیدهای مناسبی برای بررسی های *in vitro* و *in vivo* باشند.

واژه‌های کلیدی: فلاونوئید، مطالعات بیانفورماتیک، ویروس SARS-CoV-2، خصوصیات فیزیکوشیمیایی

استناد: عبدالزاده، طوبی. بررسی اثربخشی کوئرستین و آنالوگ‌هایش بر آنژیم پروتاز اصلی کووید-۱۹ با استفاده از مطالعات داکینگ مولکولی. مجله علمی دانشگاه علوم پزشکی ایلام، آبان ۱۴۰۱؛ (۴)(۳۰): ۸۵-۶۶.



تکرشتهای مانند سویه‌های گزارش شده پیشین از قبیل SARS-CoV و MERS-CoV از خانواده بنا کروناویروس است (۱۱).

بررسی ها نشان داده اند که کروناویروس جدید (ویروس کووید-۱۹) که پس از SARS-CoV در سال ۲۰۰۲ MERS-CoV (۱۲) و MERS-CoV (۱۳)، سومین همه‌گیر بسیار بیماری زا در مقیاس بزرگ است، در سطح نوکلئوتیدی، حدود ۷۹ درصد با ویروس SARS-CoV و حدود ۷۲ درصد با ویروس MERS شباهت دارد (۷). ویروس SARS-CoV-2 یک ویروس RNA دار حاوی چهار پروتئین ساختاری به نام های پروتئین سنبله (Spike)، پروتئین پاکت (Envelope)، پروتئین غشایی (Membrane) و پروتئین نوکلئوکپسید (Nucleocapside) و شانزده پروتئین غیرساختاری است که مسئول تکثیر کروناویروس هستند (۱۴). پروتئین هایی که نقش اساسی در عملکرد ویروس دارند، شامل پروتئین Spike و پروتئاز اصلی (Chymotrypsine-like protease-3 Mpro یا pLpro) و RNA dependent RNA polymerase (RdRp) پروتئاز شبه پاپایین (Papain-like protease /pLpro) هستند (۱۵). پروتئاز اصلی و پروتئاز شبه پاپایین از پروتئازهای ویروسی مهم در شکاف پلی پروتئین های ویروسی به شمار می روند و این پروتئین ها از خانواده پروتئازهای سیستئینی هستند (۱۶). پروتئاز اصلی کووید-۱۹ از نظر ساختاری، یک همودیمر فعال است که حاوی دو منomer A و B و از پروتئین های غیرساختاری است. مونومر این پروتئین سه دمین دارد: دمین I (آمینواسیدهای ۱۰۱-۸)، دمین II (آمینواسیدهای ۳۰۶-۲۰۱) و دمین III (آمینواسیدهای ۱۸۴-۱۰۲) که دمین های II و III را بهم متصل می کند و محل اتصال سویسترا در این پروتئین در شکاف میان دمین های I و II قرار دارد. این پروتئین پروتئاز اصلی گروه کاتالیتیکی

/COVID-19 (Coronavirus disease 2019 Severe Acute Respiratory Syndrome Coronavirus 2 /Syndrome Coronavirus 2) (SARS-CoV-2)، به علت ظهور سویه‌های ویروسی جدید و مقاوم و ماهیت بسیار مسربی آن، همچنان یک بحران جدی بهداشتی در سراسر جهان است (۱). علائم بیماری ناشی از کووید-۱۹ عبارت‌اند از: تب، تنگی نفس، سرفه خشک، خستگی مفرط و لتفوپنی، استفراغ و اسهال و در موارد شدیدتر بیماری، سندرم حاد تنفسی و حتی مرگ است (۲)؛ همچنین COVID-19 باعث علائم قلبی عروقی مانند آریتمی، نارسایی قلبی، سندرم حاد کرونری، میوکاردیت و شوک قلبی می شود (۳). کروناویروس ها عضو بزرگی RNA (Coronaviridae) از خانواده ویروس کروناویریدیای (Orthocoronavirinae) و اورتوکروناویرینا (Letovirinae) هستند که شامل گروه آفالالتوفیروس از زیرمجموعه لتوویرینا و چهار گروه آلفا، بتا، گاما و دلتا کروناویروس از زیرمجموعه اورتوکروناویرینا هستند (۴). آلفا و بتا کروناویروس ها قادر به آلوده کردن پستانداران و بیماری های انسانی و حیوانی ایجاد می کنند، در حالی که گاما و دلتا کروناویروس ها تمایل دارند پرنده‌گان را آلوده نمایند (۵، ۶). از میان گونه های مختلف خانواده کروناویروس، تاکنون هفت نوع کروناویروس انسانی شناسایی شده است که دو سویه 229E (۷) و NL-63 (۸) از نوع آلفا کروناویروس و پنج نوع دیگر آن متعلق به بتا کروناویروس هستند که مهم ترین آنها Severe Acute Coronavirus (SARS-CoV /Respiratory Syndrome Coronavirus Middle /MERS-CoV) و سندرم تنفسی خاورمیانه (East Respiratory Syndrome Coronavirus) است و باعث بیماری شدید و درنهایت مرگ می شوند (۱۰، ۱۱). SARS-CoV-2 یک ویروس RNA دار

پلی‌فولی مانند فلاونوئیدها، خواص متعدد دارویی از قبیل ضدآکسیدان، ضدباکتری، ضدسرطان، ضدالتهاب، ضدویروس و حفاظت کننده دستگاه ایمنی دارند و توجه فراوانی را به خود جلب کرده‌اند (۲۶، ۲۵، ۴). فلاونوئیدها معمولاً در بسیاری از گیاهان و سبزی‌ها یافت می‌شوند و قابلیت اختلال در اتصال ویروس SARS-CoV-2 به گیرنده سلول میزبان را دارند و از شدت علائم کووید-۱۹ می‌کاهند و پاسخ ایمنی را تعدیل می‌کنند (۲۷). نتایج تحقیقات نشان داد که ترکیبات فلاونوئیدی مانند کوئرستین و کامپرول و همچنین مشتقات گلوکورونید و سولفاتی این فلاونوئیدها، به طور مؤثر پروتئین RdRp را مهار می‌نمایند. سینگ و همکارانش با استفاده از داکینگ مولکولی نشان دادند که ترکیبات پلی‌فولی Theaflavin (TF1)، Epigallocatechin (EGCG) The-(TF2b)، Theaflavin-3-monogallate (TF2a) Theaflavin-3'-momogallate (TF3)، aflavin-3'-digallate، هیسپریدین، کوئرستاجتین و میریستین با اتصال محکمی برقرار می‌کنند (۲۸). در مطالعه ای، ترکیبات فلاونوئیدی فیستین، کوئرستین، ایزوهمنتین و کامپرول تمایل اتصال بیشتری با پروتئین ایزوفرمین و مطالعه دادند (۲۹) و مطالعه دیگری نشان داد که Spike میریستین می‌تواند با converting enzyme2 تأثیر متقابل داشته باشد و باعث ایجاد تغییرات ساختاری شود و از ورود ویروس جلوگیری کند (۳۰). فلاونوئیدهای آسترالگالین، کامپرول و کوئرستین به طور مداوم با پروتاز اصلی و pLpro تأثیر متقابل دارند. این مولکول‌ها نسبت به داروی رمدیسیویر، اتصال قوی تری به این دو آنزیم نشان می‌دهند (۳۱، ۳۲).

بنابراین، در این مطالعه سعی شده است که میزان فعالیت مهارکننده‌گی ترکیب کوئرستین و آنالوگ‌هایش بر آنزیم پروتاز اصلی کووید-۱۹، با استفاده از داکینگ مولکولی ارزیابی شود و اثربخشی هر کدام از این ترکیبات در محیط *in Silico* به منظور پیدا کردن یک

Cys145 و His41 دارد که در جایگاه فعال پروتئین نقش اساسی ایفا می‌کند و باعث آزاد شدن پلی پپتیدها از RNA ترجمه شده می‌شود (۱۷).

محققان سویه‌های مختلفی از SARS-CoV-2 را با جهش‌های مضاعف در برخی کشورها شناسایی کرده‌اند (۱۸). این سویه‌ها می‌توانند به سرعت منتقل شوند و باعث عفونت مجدد در جوامع انسانی شوند (۲۰). علی‌رغم توسعه برنامه‌های واکسن، نیاز جدی به شناسایی و طراحی واکسن‌ها و عوامل ضدویروسی جدید علیه SARS-CoV-2 وجود دارد (۱۹)؛ بنابراین، یافتن عوامل طبیعی امیدوارکننده برای پروتاز اصلی می‌تواند تهاجم و/یا مانع تکثیر ویروس در سلول میزبان و کاهش عفونت‌پذیری آن شود و از آنجاکه این ویروس بدون همولوگ انسانی است، مهارکننده‌های آن سمتی کمتری برای انسان دارند (۲۰).

کشف آثار درمانی یک ترکیب شیمیایی، تازه آغاز راهی است که ممکن است تحقیق، توسعه و اجرای آن سالیان بسیاری به طول بینجامد. در حقیقت زمان بر بودن، پرهزینه بودن و دسترسی آسان نداشتن به مواد اولیه دارویی برای سنتز و داشتن عوارض جانبی متعدد داروهای شیمیایی از معایب داروهای شیمیایی است. یکی از راهکارهای جدید درمانی، غیر از طراحی و سنتز شیمیایی داروهای جستجوی مواد مؤثر دارویی در میان ترکیبات طبیعی به منظور دستیابی به داروهایی با کمترین آثار جانبی و صرف هزینه و زمان کوتاه‌تر است. امروزه روش‌های *in Silico* به عنوان یکی از کم‌هزینه‌ترین و سریع‌ترین راهکارها برای رسیدن به ترکیب الگو و یا داروی مؤثر استفاده می‌شوند (۲۱، ۲۲).

گیاهان دارویی به دلیل منشأ طبیعی، عوارض جانبی کمتری نسبت به مواد شیمیایی دارند و دارای خواص گوناگونی از قبیل خواص ضدقارچی، ضدالتهابی، ضدویروسی، ضدآکسیدانی، ضدتشنج و ضدتب هستند (۲۳، ۲۴). در میان ترکیبات متنوع گیاهی، ترکیبات

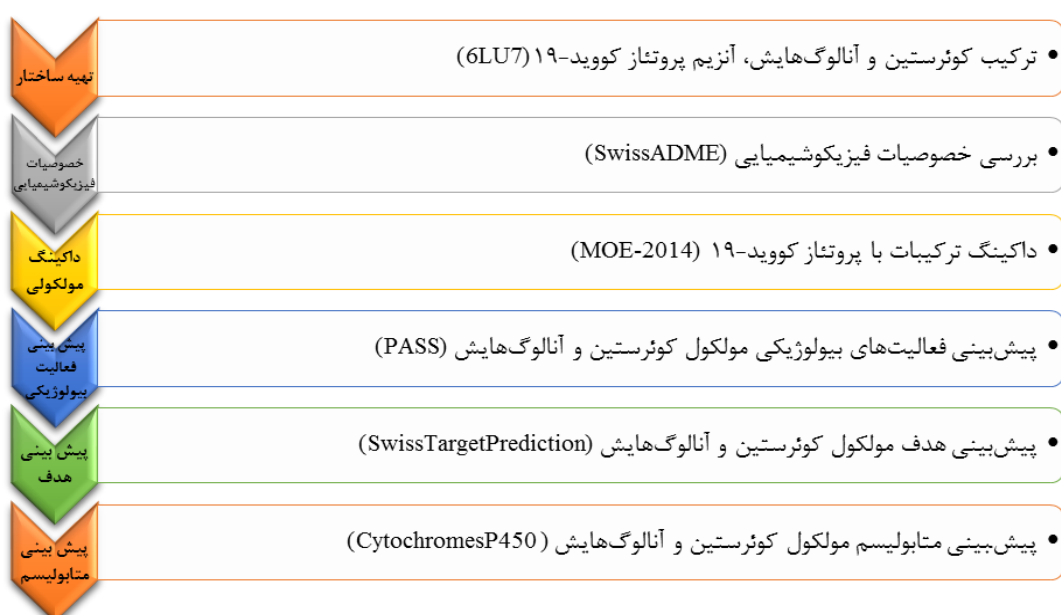
ترکیب مؤثر در درمان کووید-۱۹ بررسی گردد. با هدف بررسی و شناسایی دقیق سازوکار اتصال آنالوگ‌های کوئرستین با اسکلت ساختاری فلاونوئیدی به جایگاه فعال آنزیم، روش داکینگ مولکولی اجرا و نتایج به دست آمده از آن تجزیه و تحلیل و درنهایت، پیش‌بینی خطر سمیت و فعالیت بیولوژیک ترکیبات توسط مروگر Swiss Target Prediction PASS و SwissADME ارزیابی گردید. برای انجام روش داکینگ مولکولی از نرم‌افزار Molecular Operating Environment (MOE.2014) استفاده شده است.

مواد و روش‌ها

هدف اصلی این مطالعه ارزیابی کوئرستین و آنالوگ‌هایش، به عنوان مهارکننده‌های آنزیم پروتئاز SARS-CoV-2 اصلی ویروس، برای شناسایی دارویی مؤثر در درمان کووید-۱۹ بود. پروتئاز اصلی به علت نقش مهم آن در تکثیر ویروس انتخاب گردید و خواص فیزیکوشیمیابی کوئرستین و آنالوگ‌هایش تجزیه و تحلیل شد و داکینگ مولکولی همه ترکیبات کوئرستینی با آنزیم پروتئاز اصلی صورت گرفت و ترکیبات با اثر

مهاری بهتر که میل اتصال قوی تری برای پروتئاز اصلی نشان دادند، برای تحقیقات بیشتر توسط SwissTragetprediction in silico PASS و متاپولیسم انتخاب شدند و ارزیابی گردیدند. این مطالعه به صورت برای شناسایی ترکیبات ضدویروسی بالقوه برای کووید-۱۹ انجام شد (شکل شماره ۱).

آماده‌سازی پروتئین و لیگاندها: این پژوهش به شیوه توصیفی-تحلیلی انجام شد. ابتدا از میان ترکیبات مؤثر گیاهان دارویی، ترکیب کوئرستین و آنالوگ‌هایش (۲۰ ترکیب) انتخاب گردیدند که خاصیت ضدویروسی داشتند. برای مقایسه عملکرد ترکیبات کوئرستینی یادشده و دست یابی به نتایج قبل اطمینان برهمکنش مولکولی، دو داروی ضدویروس ریتوناویر و لوپیناویر به عنوان استاندارد و مهارکننده N3 در پروتئاز اصلی مطالعه شدند. ساختار سه‌بعدی ترکیبات و داروها از پایگاه PubChem به آدرس (<http://pubchem.ncbi.nlm.nih.gov>) دریافت گردیدند و ساختارها توسط Hyperchem.7 در میدان نیروی مکانیک مولکولی (MM+ / Molecular Mechanics) و روش نیمه‌تجربی AM1 و الگوریتم Polak-ribiere از نظر انرژی بهینه شدند.



شکل شماره ۱. نمای شماتیکی از رویکرد محاسباتی استفاده شده برای شناسایی آنالوگ‌های کوئرستین به عنوان مهارکننده برای آنزیم پروتئاز اصلی کووید-۱۹

خوراکی یا تزریق وریدی یا جذب پوستی نقش دارند، با استفاده از پایگاه های SwissADME بر اساس قانون PASS-Way2Drug، Swiss Target Prediction، RS-Web Predictor و ۱.۰ نرم افزارهای آنلاین هستند که با دریافت اطلاعات مولکول شیمیایی در قالب فایل (SDF) یا Structure Data File (SDF)، Simplified molecular-input line-entry system (Smile)، امکان پیش‌بینی خصوصیات فیزیکو‌شیمیایی را فراهم می آورند (۳۵-۳۷).

دَائِكِينِگ مولکولی: به منظور ارزیابی ترکیب کوئرستین و آنالوگ هایش و داروهای استاندارد (ریتوناویر و لوپیناویر) و مهارکننده N3 در مهار آنزیم پروتَنَز اصلی کووید-۱۹، از روش دَائِكِینِگ مولکولی با استفاده از نرم افزار MOE.2014 استفاده گردید. در MOE، تمایل اتصال گیرنده-لیگاند با همه هندسه های اتصال ممکن، بر اساس یک مقدار عددی به نام S-score اولویت‌بندی می‌شوند. MOE می‌تواند پیوندهای هیدروژنی، برهمنکشن های آب‌گزین، گوگرد-LP، کاتیون-π و قرار گرفتن کمپلکس در معرض حلال را شناسایی کند؛ بنابراین در این کار، برهمنکشن های میان ترکیبات و پروتئین گیرنده بر اساس این S-score پیش‌بینی می‌شوند. در طول فرایند شبیه‌سازی دَائِكِینِگ مولکولی، پروتئین پروتَنَز اصلی به عنوان یک ساختار صلب در نظر گرفته شد، در حالی که لیگاندها کاملاً انعطاف‌پذیر بودند. با استفاده از مازول مکان‌یاب کاشته‌شده در MOE، محل فعال پروتئین پروتَنَز اصلی تعیین گردید و محل فعال با دست کم یک اتم در فاصله ۴/۵ Å در لیگاند در ساختار کریستالی پروتَنَز اصلی تعریف شد. دَائِكِینِگ مولکولی با استفاده از الگوریتم مکان‌یابی تطبیق مثلث در ترکیب با تابع امتیازدهی برای اختصاص انرژی‌های اتصال آزاد dG_{London} نظری مجتمع‌های پروتئین-لیگاند و میدان نیرو به عنوان روش پالایش صورت گرفت. بررسی های کمی از حیث انرژی پیوندی توسط بهترین کنفورماتیون ترکیبات با

ساختار سه‌بعدی آنزیم پروتَنَز اصلی کووید-۱۹ با شماره دسترسی 6LU7 از پایگاه داده های پروتئین (PDB/ Protein Data Bank) دریافت گردید. در طول فرایند آماده‌سازی پروتئین، با استفاده از نرم افزار MOE.2014 (۳۳) مولکول‌های آب و لیگاند اصلی آن حذف شدند، در حالی که هیدروژن‌های قطبی و بارهای گستیگر (بارهای الکتریکی اتم که به صورت تجربی محاسبه می‌گردد) به پروتئین اضافه و هیدروژن‌های غیریونیزه در اتم کرین مجاور ادغام شدند. ساختار پروتئین توسط الگوریتم کمینه‌سازی انرژی MOE با استفاده از میدان نیروی MMFF94X، با روش گرادیان مزدوج به حداقل رسید؛ سپس ساختار پروتئین برای مطالعات دَائِكِینِگ مولکولی ذخیره گردید.

بررسی ترکیبات با قانون لیپینسکی (Lipinski's rule of five): برای ارزیابی اینکه یک ترکیب می‌تواند خواص دارویی داشته باشد و برای پیش‌بینی میزان جذب، برای همه ترکیبات، قانون لیپینسکی در نظر گرفته می‌شود. قانون لیپینسکی (Lipinski's "rule of five") پیش‌بینی می‌کند که جذب یا نفوذ مناسب در مواردی اتفاق می‌افتد که ترکیب مدنظر ویژگی‌هایی مانند وزن مولکولی کمتر از ۵۰۰ دالتون، فاکتور چربی دوستی (cLogP) کمتر از ۵، تعداد اتم‌های پذیرنده هیدروژن کمتر از ۵ داشته باشد؛ بنابراین، ترکیبی که این ویژگی‌های را دارد و از قانون لیپینسکی برخوردار باشد، جذب بیشتر و اثربخشی بیشتری دارد (۳۴). بر اساس این، برای بررسی ترکیبات از لحاظ این قانون از پایگاه SwissADME استفاده شد.

پیش‌بینی خصوصیات فیزیکو‌شیمیایی و بیولوژیک ترکیبات بررسی شده: به طور کلی، داشتن خصوصیات فیزیکو‌شیمیایی مطلوب در کنار اثربخشی دارویی از شاخص‌های مهم برای ارزیابی یک مولکول به عنوان یک کاندید دارویی مناسب است؛ بنابراین در این مطالعه، خصوصیات فیزیکو‌شیمیایی شامل حلایلت در آب، مساحت قسمت‌های Topological Polar Surface Area(TPSA) و قابلیت مهار سیتوکرومی که در طراحی پیش‌دارو به صورت

انرژی های اتصال (S-score kcal/mol) ارزیابی گردیدند و بررسی های کیفی از حیث برهمکنش میان لیگاندها و پروتئین شامل برهمکنش های هیدروژنی، هیدروفوبی و $\pi-\pi$ با آمینواسیدهای موجود در پاکت اتصال پروتئین، توسط ماثول LigX در نرم افزارهای MOE و UCSF آنالیز شد. خاطر نشان می شود که در کنار Chimera محیط های *in silico* و *in vitro*، محیط *in vivo* به عنوان یک محیط کارآمد برای تجزیه و تحلیل جزئیات فرایندهای پیچیده زیستی محسوب می شود.

یافته ها

خصوصیات فیزیکوشیمیایی و مؤلفه های فارماکوکنیتیک: بر اساس قانون لیپینسکی و تعریف قانون ۵تاپی، پیش بینی قابل جذب بودن ترکیبات از راه خوراکی

جدول شماره ۱. مؤلفه های لیپینسکی داروهای استاندارد و آنالوگ های کوئرستین

نام ترکیب	وزن مولکولی	پذیرندهای لیپینسکی	دهندهای لیپوند هیدروژنی	دهندهای لیپوند هیدروژنی	Lipinski	LogP
Apigenin	۲۷۰/۲۴	۵	۳	۳	بله	۳/۰۲
Baicalein	۲۷۰/۲۴	۵	۳	۳	بله	۳/۱۶
Chrysin	۲۵۴/۲۴	۴	۲	۲	بله	۳/۵۲
daidzein	۲۵۴/۲۴	۴	۲	۲	بله	۲/۴۷
Dihydromyricetin	۳۲۰/۲۵	۸	۶	۶	بله	۰/۵۹
Fisetin	۲۸۶/۲۴	۶	۴	۴	بله	۱/۹۷
Formononetin	۲۸۶/۲۴	۴	۱	۱	بله	۲/۸۰
Genistein	۲۷۰/۲۴	۵	۳	۳	بله	۲/۹۷
Hesperetin	۳۰۲/۲۸	۶	۳	۳	بله	۲/۶۰
Kaempferol	۲۸۶/۲۴	۶	۴	۴	بله	۱/۹۰
Liquiritigenin	۲۵۶/۲۵	۴	۲	۲	بله	۲/۳۰
Luteolin	۲۸۶/۲۴	۶	۴	۴	بله	۲/۵۳
Cynaroside	۴۴۸/۳۸	۱۱	۷	۷	خیر	۱/۴۶
Myricetin	۳۱۸/۲۴	۸	۶	۶	بله	۱/۱۸
Myricitrin	۴۶۴/۳۸	۱۲	۸	۸	خیر	۰/۵۱
Naringenin	۲۷۲/۲۵	۵	۳	۳	بله	۲/۵۲
Puerarin	۴۱۶/۳۸	۹	۶	۶	بله	۰/۰۱
Quercetin	۳۰۲/۲۴	۷	۵	۵	بله	۱/۵۴
Rutin	۶۱۰/۵۲	۱۶	۱۰	۱۰	خیر	-۰/۳۳
Tangeretin	۳۷۲/۳۷	۷	۰	۰	بله	۳/۰۴
Ritonavir	۷۲۰/۹۴	۷	۴	۴	خیر	۶/۰۵
Lopinavir	۶۲۸/۸۰	۵	۴	۴	خیر	۵/۹۲

می شود. ترکیباتی که PSA بزرگ‌تر از 140 \AA دارند، نفوذپذیری مناسب ندارند. سیتوکروم ها از آنزیم های مهم در بدن هستند که به طور عمده در کبد و روده یافت می شوند و مولکول های آلی خارجی مانند سموم یا داروها را اکسید می کنند تا بتوانند از بدن خارج شوند؛ بنابراین، بررسی این سیتوکروم ها در جذب و اثربخشی دارو بسیار مؤثر است و چنانچه ترکیب کاندیدشده، مهارکننده این سیتوکروم ها نباشد، می توان عنوان کرد که دارو قابلیت جذب گوارشی مناسبی دارد و به صورت خوراکی قابل مصرف است.

همچنین آنالوگ های کوئرستین از لحاظ خصوصیات فیزیکوشیمیایی دیگر و مؤلفه های فارماکوکیتیک ارزیابی شدند (جدول شماره ۲). میزان حلالیت ماده را نشان می دهد که میزان بالای صفر آن نشان دهنده حلالیت بالا و میزان کمتر از 10% - نشان دهنده نامحلول بودن ماده مدنظر است. عامل مهم دیگری که نقش مستقیمی در نفوذپذیری ترکیبات زیست فعال دارد، مساحت های قطبی مولکول (TPSA) است. بر اساس مطالعات انجام شده، نفوذپذیری ترکیبات با افزایش جرم ماده و کاهش (PSA) Polar Surface Area (PSA) بیشتر

جدول شماره ۲. بررسی خصوصیات فیزیکوشیمیایی داروهای استاندارد و آنالوگ های کوئرستین مطالعه شده

Leadlikeness	مهارکننده سیتوکروم				مهارکننده سیتوکروم				مهارکننده سیتوکروم				BBB permeant	جذب گوارشی	TPSA	LogS	نام ترکیب
	CYP3A4	CYP2D6	CYP2C9	CYP2C19	CYP1A2												
بله	بله	بله	بله	بله	بله	بله	بله	بله	بله	بله	بله	بله	بالا	۹۰/۹۰	-۳/۹۴	Apigenin	
بله	بله	بله	بله	بله	بله	بله	بله	بله	بله	بله	بله	بله	بالا	۹۰/۹۰	-۴/۰۳	Baicalein	
خیر	بله	بله	بله	بله	بله	بله	بله	بله	بله	بله	بله	بله	بالا	۷۰/۶۷	-۴/۱۹	Chrysin	
بله	بله	بله	بله	بله	بله	بله	بله	بله	بله	بله	بله	بله	بالا	۷۰/۶۷	-۳/۵۳	daidzein	
بله	خیر	خیر	خیر	خیر	خیر	خیر	خیر	خیر	خیر	خیر	خیر	خیر	کم	۱۴۷/۶۸	-۲/۵۲	Dihydromyricetin	
بله	بله	بله	بله	بله	بله	بله	بله	بله	بله	بله	بله	بله	بالا	۱۱۱/۱۳	-۳/۳۵	Fisetin	
بله	بله	بله	بله	بله	بله	بله	بله	بله	بله	بله	بله	بله	بالا	۵۹/۶۷	-۳/۷۳	Formononetin	
بله	بله	بله	بله	بله	بله	بله	بله	بله	بله	بله	بله	بله	بالا	۹۰/۹۰	-۳/۷۲	Genistein	
بله	بله	بله	بله	بله	بله	بله	بله	بله	بله	بله	بله	بله	بالا	۹۶/۲۲	-۳/۶۲	Hesperetin	
بله	بله	بله	بله	بله	بله	بله	بله	بله	بله	بله	بله	بله	بالا	۱۱۱/۱۳	-۳/۳۱	Kaempferol	
بله	خیر	خیر	خیر	خیر	خیر	خیر	خیر	خیر	خیر	خیر	خیر	خیر	بالا	۶۶/۷۶	-۳/۲۸	Liquiritigenin	
بله	بله	بله	بله	بله	بله	بله	بله	بله	بله	بله	بله	بله	بالا	۱۱۱/۱۳	-۳/۷۱	Luteolin	
خیر	بله	بله	بله	بله	بله	بله	بله	بله	بله	بله	بله	بله	کم	۱۹۰/۲۸	-۳/۶۵	Cynaroside	
بله	بله	بله	بله	بله	بله	بله	بله	بله	بله	بله	بله	بله	کم	۱۵۱/۵۹	-۳/۰۱	Myricetin	
خیر	بله	بله	بله	بله	بله	بله	بله	بله	بله	بله	بله	بله	کم	۲۱۰/۵۱	-۳/۲۰	Myricitrin	
بله	بله	بله	بله	بله	بله	بله	بله	بله	بله	بله	بله	بله	بالا	۸۶/۹۹	-۳/۴۹	Naringenin	
خیر	بله	بله	بله	بله	بله	بله	بله	بله	بله	بله	بله	بله	کم	۱۶۰/۸۲	-۳/۶۲	Puerarin	
بله	بله	بله	بله	بله	بله	بله	بله	بله	بله	بله	بله	بله	بالا	۱۳۱/۳۶	-۳/۱۶	Quercetin	
خیر	بله	بله	بله	بله	بله	بله	بله	بله	بله	بله	بله	بله	کم	۲۶۹/۴۳	-۳/۳۰	Rutin	
خیر	بله	بله	بله	بله	بله	بله	بله	بله	بله	بله	بله	بله	بالا	۷۶/۳۶	-۴/۱۱	Tangeretin	
خیر	بله	بله	بله	بله	بله	بله	بله	بله	بله	بله	بله	بله	کم	۲۰۲/۲۶	-۶/۹۹	Ritonavir	
خیر	بله	بله	بله	بله	بله	بله	بله	بله	بله	بله	بله	بله	بالا	۱۲۰	-۴/۶۴	Lopinavir	

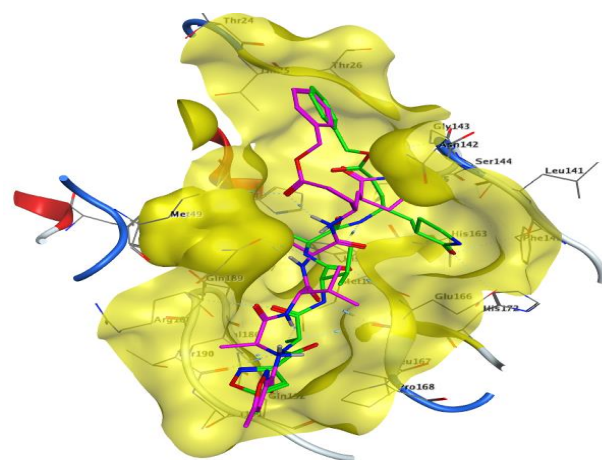
درنهایت، برای اثربخشی یک دارو به صورت خوراکی، تزریق وریدی یا جذب پوستی باید برآیندی از عامل‌های یادشده را در نظر گرفت. بر اساس جدول شماره ۲، داروی ریتوناویر محلولیت نسبی، نفوذپذیری نامناسب و جذب گوارشی پایین دارد و باید به صورت تزریق وریدی استفاده شود؛ اما داروی لوپیناویر نفوذپذیری مناسب و جذب گوارشی بالا و قابلیت مصرف خوراکی دارد؛ همچنین مشاهده شد که از میان کوئرستین و آنالوگ‌هایش، Dihydromyricetin، Puerarin، Myricitin، Cynaroside و Rutin با داشتن حلایلت نسبی، نفوذپذیری نامناسب و جذب گوارشی اندک، قابلیت مصرف خوراکی ندارند و می‌بایست مانند داروی ریتوناویر، به صورت تزریق وریدی استفاده شوند؛ اما دیگر ترکیبات بررسی شده در جدول با داشتن نفوذپذیری مناسب و جذب گوارشی بالا، قابلیت مصرف خوراکی دارند.

داکینگ مولکولی: در ابتدا بهمنظور اعتبارسنجی عملیات داکینگ، لیگاند N3 از جایگاه فعال آنزیم پروتئاز اصلی داک شدند. نتایج به دست آمده از داکینگ مولکولی میان آنزیم پروتئاز اصلی با هر کدام از آنالوگ‌های کوئرستین و داروهای استاندارد در جدول شماره ۳ آمده است.

همان طور که مشاهده می‌شود، بیشتر آنالوگ‌های کوئرستین، با توجه به انرژی حاصل از برهمکنش لیگاند-گیرنده، اتصال مناسبی با آنزیم یادشده دارند و در جدول مهم‌ترین آمینواسیدهای درگیر در جایگاه فعال آنزیم و همه برهمکنش‌های لیگاندها شامل پیوندهای هیدروژنی، برهمکنش هیدروفوبی و $\pi-\pi$ ذکر شده است.

پس از اعتبارسنجی داکینگ، ساختار سه بعدی آنالوگ‌های کوئرستین و داروهای استاندارد در جایگاه فعال آنزیم پروتئاز اصلی داک شدند. نتایج به دست آمده از آنالوگ‌های کوئرستین و داروهای استاندارد در جدول شماره ۳ آمده است.

همان طور که مشاهده می‌شود، بیشتر آنالوگ‌های کوئرستین، با توجه به انرژی حاصل از برهمکنش لیگاند-گیرنده، اتصال مناسبی با آنزیم یادشده دارند و در جدول مهم‌ترین آمینواسیدهای درگیر در جایگاه فعال آنزیم و همه برهمکنش‌های لیگاندها شامل پیوندهای هیدروژنی، برهمکنش هیدروفوبی و $\pi-\pi$ ذکر شده است.



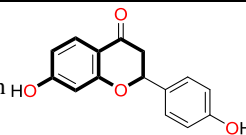
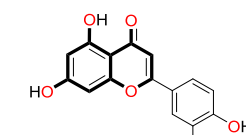
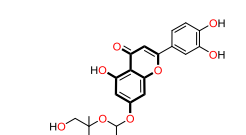
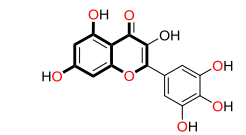
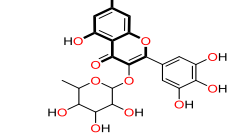
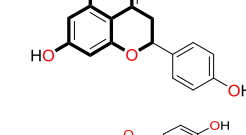
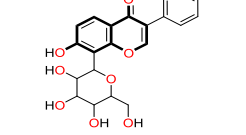
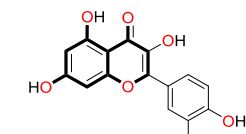
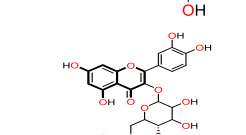
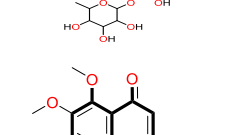
شکل شماره ۲. اعتبارسنجی مجدد برای N3. مهارکننده مجدد داک شده N3 (ارگوانی) در جایگاه اتصال 6LU7

جدول شماره ۳. انرژی اتصال و برهمکنش های موجود میان ترکیبات مطالعه شده و آمینواسیدهای جایگاه فعال آنزیم بروتاز اصلی کووید-۱۹

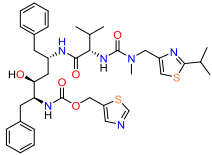
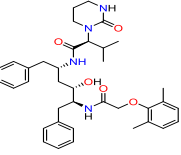
انرژیکشن کوئرنسن و آنalog هایش بر آنژیم بروتاز اصلی کووید-۱۹

$\pi-\pi$	برهمکنش های هیدروفوب	پیوند هیدروژنی	انرژی اتصال (کیلو کالری بر مول)	نام ترکیب	ساختار
His41	Met165, His163, Arg188, Glu166, Phe140, Met49, Asp187, Asn142, Thr25, gly143	Cys145, Ser144, His164, Leu141	-12/64	Apigenin	
His41	Met49, Asn142, Gln189, Met165, His164, his163, his172	Leu141, Ser144, Phe140, Glu166, Cys145,	-13/24	Baicalein	
His41	Leu141, Met49, Asn142, Phe140, Met165, His164, His163, Glu166 Met49, Asn142, Gln189, Met165, His164, His163, His172, Leu141, Phe140, Glu166, Arg188, Ser144, Thr190	Ser144, His163, Cys145	-11/64	Chrysin	
His41	Cys145, Met49, Asn142, Gln189, Met165, His164, His163, His172, Leu141, Phe140, Glu166, Arg188, Ser144, Thr190	Glu166, Gln189, His163, Leu141	-10/47	Dihydromyricetin	
His41	Met49, Asn142, Gln189, Met165, His164, His163, His172, Leu141, Phe140, Glu166, Arg188, Thr190	Cys145, Ser144	-12/51	Fisetin	
-	Ser144, Met49, Asn142, Gln189, Met165, His164, His163, His172, Leu141, Phe140, Glu166, Arg188, Thr190, Gln192	Cys145, Leu141, Gly143	-12/54	Formononetin	
His41	Leu141, Phe140, Asn142, His164, Arg188, Leu27, Tyr54, Met49	Gly143, Ser144, Cys145, His163	-12/42	Genistein	
His41	Asn142, Met165, His164, Glu166, Gly143, Gln189, Met49, Leu27, Thr26	Cys145, Leu141, Ser144, His163, Phe140	-12/47	Hesperetin	
-	Asn142, Phe140, Met165, His164, Glu166, Gly143, Gln189, Met49, Thr26	Cys145, Leu141, Ser144, His163	-11/47	Kaempferol	

ادامه جدول شماره ۳

	Asn142, Phe140, Met165, His164, His163, Leu141, Glu166, Gly143, Gln189, Met49	Cys145, Ser144	-10/۲۵	Liquiritigenin 
His41	Asn142, Cys145 Met165, His164, His163, Leu141, Glu166, Gly143, Gln189, Met49, Leu27, Thr25, His172	Phe140, His163, Ser144, is41	-12/۴۱	Luteolin 
	Asn142, Met165, His164, Leu141, Gly143, Gln189, Met49, His164, His163	Cys145, Phe140, Ser144, Glu166	-11/۷۹	Cynaroside 
His41	Asn142, Phe140, Cys145, Met165, His164, Leu141, Gly143, Glu166, Gln189, Met49, His164, His163	Cly143, His163	-11/۰۹	Myricetin 
His41	Phe140, Cys145, Met165, His164, Glu166, Gln189, Met49, Arg188, Asp187	Asn142, Ser144, Leu141, Cly143	-10/۴۲	Myricitrin 
His41	Phe140, Thr26, Thr25, Leu141, Asn142, His172, His163, Met49, Met165, Gln189	Gly143, Ser144, Cys145, Arg188	-12/۸۳	Naringenin 
His41	, ۱۶۵, Met۱۷۳Gly , His163, ۱۶۷His , ۱۷۸, Asn۱۷۹Glu , ۱۸۹, Gln۱۹۰Met Thr54, Phe140	Cys145, Leu141, Ser144, Asp187	-10/۷۱	Puerarin 
	Met49, His164, Met165, Asn142	His41, Leu141, Gly143, Ser144, Cys145, Gln189	-13/۵۴	Quercetin 
	, ۱۶۳, Gly۱۶۱His , ۱۶۴, His۱۶۵Met , ۱۶۵, Met۱۶۶Asn Leu141, Met165, Leu141, Gln192, Phe140	, Thr190, ۱۶۷Glu Ser144, Cys145, His163, Gln189	-10/۳۹	Rutin 
His41	, ۱۶۵Cys145, Met , ۱۶۷, Asn۱۶۹His Met165, ۱۶۸Met Leu141, Asp187, Gln192, Phe140, Arg188, Gln189,	, Gly143۱۶۹Glu	-11/۹۰	Tangeretin 

ادامه جدول شماره ۳

	-	, ۱۴۵, Cys۴۱His , ۱۶۵, Met۱۲۳Gly , ۱۶۹, Glu۱۶۴His , ۴۹, Met۱۴۲Asn , ۲۶, Thr۱۸۹Gln , ۴۵, Thr۲۰, Thr۲۴Thr ۴۶Ser	۲۵, Thr۱۶۶Glu	-۶/۸۴	Ritonavir	
	His41	His 41, Cys145, Gly143, Met165, His164, Glu166, Asn142, Leu141, Phe140, Met49, Gln189, Asp187	Gln189	-۱۰/۸۹	Lopinavir	

Quercetin را شناسایی کردند که در پایگاه داده PASS ذخیره شده‌اند. جدول شماره ۴ نتایج پیش‌بینی چهارده فعالیت بیولوژیکی را برای آنالوگ‌های کوئرستینی انتخاب شده نشان می‌دهد.

گفتنی است نتایج تحقیق حاضر نشان‌دهنده کاربرد عمده طرح PASS برای پیش‌بینی فعالیت‌های بیولوژیکی Quercetin و Naringenin، Genistein، Baicalein اساس ساختار فلاونوئیدی ترکیبات مربوطه است که با ضریب پیش‌بینی متوسط برابر با ۰/۸۰ (Pa) در محدوده ۰/۴۵۸ تا ۰/۹۷۳ است، هنگامی که (Pa>Pi) برای این ترکیبات نشان داده شده است.

بررسی خصوصیات بیولوژی ترکیب کوئرستین و آنالوگ‌هاش: مطالعات طراحی دارو PASS را به عنوان یک ابزار محبوب استفاده شده در تقریباً هر صنعت دارویی، با توجه به تجزیه و تحلیل رابطه ساختار-فعالیت در نظر گرفته اند و امتیاز پیش‌بینی فعالیت‌های بیولوژیکی Prediction of /Pa) را بر اساس نسبت احتمال فعال بودن (Probable /Pi) و احتمال غیرفعال بودن (activity (inactivity می‌دهد. Pa بالاتر به این معنی است که فعالیت بیولوژیکی احتمال بیشتری برای یک ترکیب دارد. علاوه بر این، محققان طیف‌های فعالیت بیولوژیکی Naringenin، Genistein، Baicalein و Tricin نشان داده شده اند.

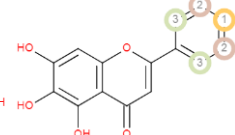
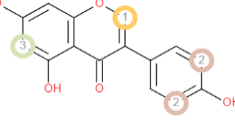
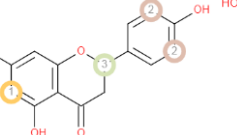
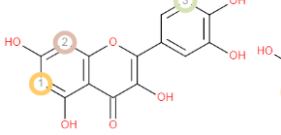
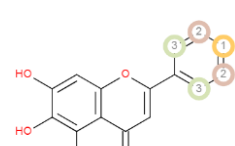
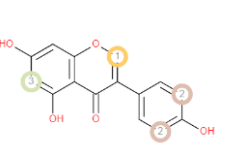
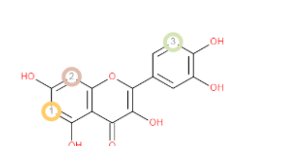
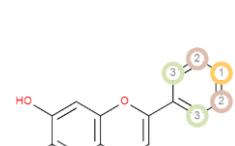
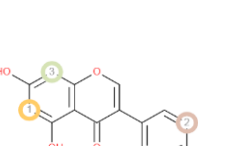
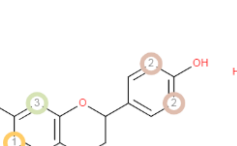
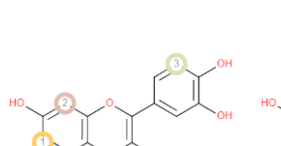
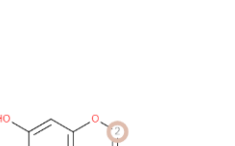
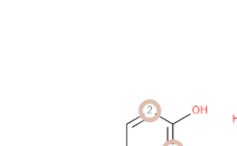
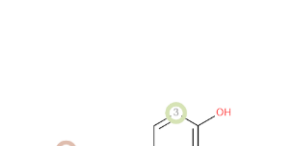
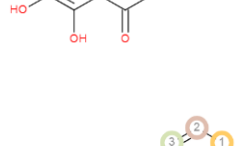
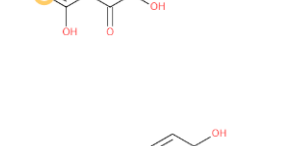
جدول شماره ۴. نتایج پیش‌بینی PASS از فعالیت‌های بیولوژیکی ترکیبات Quercetin، Naringenin، Genistein، Baicalein و Tricin

ردیف	فعالیت بیولوژیک	Quercetin	Hesperetin	Genistein	Baicalein	Pa	Pi	Pa	Pi	Pa	Pi	Pa	Pi
۱	Membrane integrity agonist	۰/۹۷۳	۰/۰۰۲	۰/۹۶۴	۰/۰۰۳	۰/۹۱۳	۰/۰۰۸	۰/۹۴۵	۰/۰۰۴				
۲	HMOX1 expression enhancer	۰/۹۵۷	۰/۰۰۲	۰/۹۵۶	۰/۰۰۲	۰/۷۶۳	۰/۰۰۴	۰/۸۳۲	۰/۰۰۳				
۳	HIF1A expression inhibitor	۰/۹۶۹	۰/۰۰۲	۰/۹۱۱	۰/۰۰۵	۰/۹۳۹	۰/۰۰۴	۰/۹۴۲	۰/۰۰۴				
۴	Histidine kinase inhibitor	۰/۸۹۵	۰/۰۰۲	۰/۸۹۲	۰/۰۰۲	۰/۷۴۴	۰/۰۰۶	۰/۸۳۲	۰/۰۰۳				
۵	Aldehyde oxidase inhibitor	۰/۸۹۴	۰/۰۰۴	۰/۸۶۶	۰/۰۰۵	۰/۴۶۹	۰/۰۰۵	۰/۸۷۱	۰/۰۰۵				
۶	Antimutagenic	۰/۹۴۰	۰/۰۰۱	۰/۸۵۷	۰/۰۰۳	۰/۸۷۴	۰/۰۰۳	۰/۸۸۸	۰/۰۰۲				
۷	Mucomembranous protector	۰/۷۵۱	۰/۰۳۴	۰/۸۴۴	۰/۰۱۰	۰/۶۵۸	۰/۰۷۶	۰/۷۲۶	۰/۰۴۵				
۸	TP53 expression enhancer	۰/۸۴۴	۰/۰۰۸	۰/۸۲۲	۰/۰۰۹	۰/۸۲۴	۰/۰۰۹	۰/۸۹۵	۰/۰۰۵				
۹	Chemopreventive	۰/۷۱۷	۰/۰۰۶	۰/۷۲۴	۰/۰۰۶	۰/۶۰۹	۰/۰۱۰	۰/۵۸۲	۰/۰۱۱				
۱۰	Sugar-phosphatase inhibitor	۰/۵۶۶	۰/۰۹۴	۰/۵۸۶	۰/۰۵۸	۰/۵۶۶	۰/۰۱۱	۰/۷۰۶	۰/۰۳۲				
۱۱	Membrane integrity agonist	۰/۹۷۳	۰/۰۰۲	۰/۹۶۴	۰/۰۰۳	۰/۹۱۳	۰/۰۰۸	۰/۹۴۵	۰/۰۰۴				
۱۲	Antiinflammatory	۰/۶۸۹	۰/۰۱۷	۰/۹۶۰	۰/۰۲۱	۰/۶۲۶	۰/۰۲۷	۰/۶۷۴	۰/۰۱۹				
۱۳	Free radical scavenger	۰/۸۱۱	۰/۰۰۳	۰/۷۹	۰/۰۰۳	۰/۴۵۸	۰/۰۱۳	۰/۶۹۶	۰/۰۰۴				
۱۴	Hepatoprotectant	۰/۷۰۶	۰/۰۰۷	۰/۷۲۱	۰/۰۰۶	۰/۶۸۰	۰/۰۰۸	۰/۶۱۱	۰/۰۱۱				

ساختر شیمیایی چهار لیگاند مشخص می‌شوند. طبق پیش‌بینی مکان‌های احتمالی متابولیسم (جدول شماره ۵)، ۵ مکان برای همه سیتوکروم‌های P450 Baicalein ترکیبات Genistein و Naringenin ۵ مکان برای سیتوکروم P450 ۲C9 و ۴ مکان متابولیسم برای سیتوکروم‌های ۲E1، ۱A2، ۲A6، ۲C8، ۲B6، ۲D6 دارند. پیش‌بینی‌های متابولیسم برای P450 ۳A4، ۲C19، ۱A2، Quercetin ۳ مکان سیتوکروم P450 را برای ۲E1 و ۴ مکان ۲C19، ۲D6، ۲C8، ۲B6، ۲A6 دارند. ای ۲C9 نشان داد.

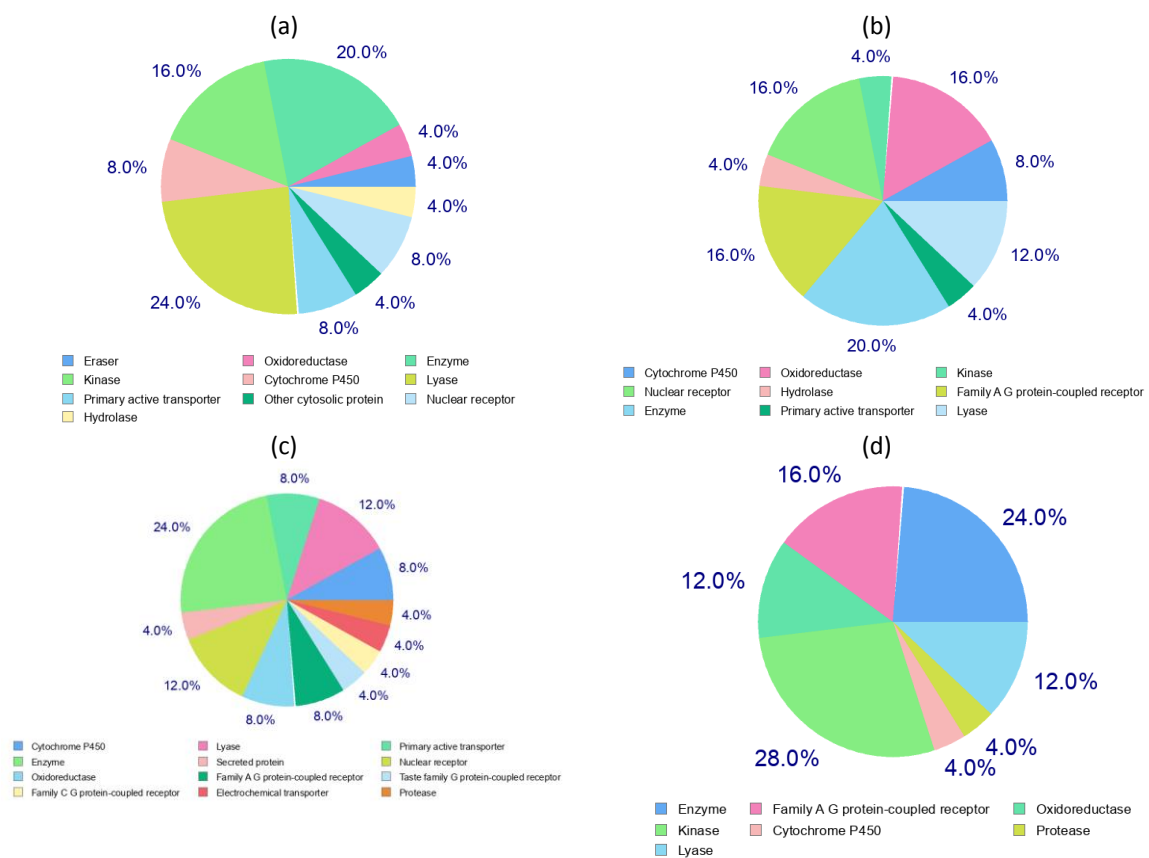
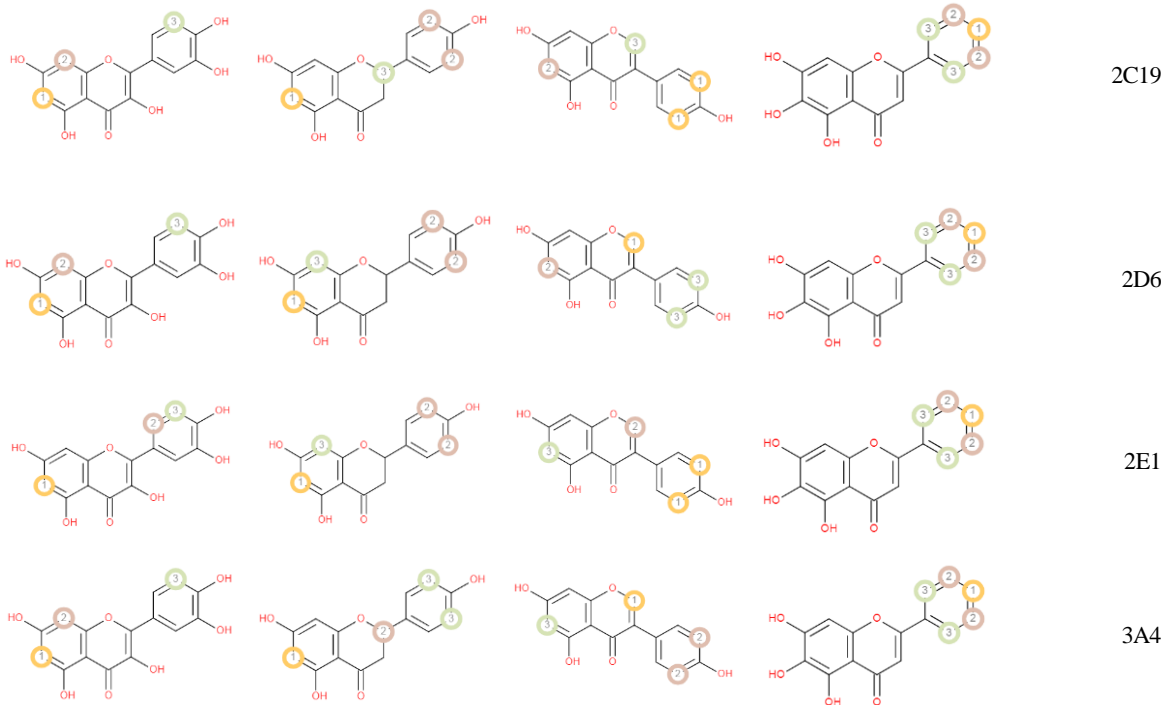
سیتوکروم P450 عامل کلیدی برای متابولیسم مواد خارجی مانند داروها است. شناسایی مکان‌های متابولیک در مولکول‌های دارومند، توانایی دفع آن‌ها از بدن را مشخص می‌کند. مکان‌های احتمالی متابولیسم Quercetin، Naringenin، Genistein، Baicalein طریق سیتوکروم‌های 1A2، 2B6، 2C8، 2A6، 2D6، 2E1، 3A4 و 2C19 را در RS-Web ارزیابی شد. مکان‌های احتمالی روی ترکیبات Predictor شیمیابی که در آن متابولیسم توسط ایزوفرم‌های آنزیم‌های CYP450 اتفاق می‌افتد، با دایره‌های روی

جدول شماره ۵. فهرست مکان‌های P450 مطالعه پیش‌بینی، متابولیسم موکول‌های Quercetin، Naringenin، Genistein، Baicalein

خواص شbahت به دارو	Baicalein	Genistein	Naringenin	Quercetin
1A2				
2A6				
2B6				
2C8				
2C9				

۱۵۰ جدول شماره .۵

آنلریختنی کوئرستین و آنالوگ‌هایش بر اثریه پروتاز اصلی کووید-۱۹



شکل شماره ۳. ۲۵ هدف پیش‌بینی شده برای ترکیبات (a) Baicalein (b) Genistein (c) Naringenin (d) Quercetin

پیش بینی هدف: مطالعات هدف مولکولی برای یافتن عوارض جانبی فوتیپی یا واکنش متقابل بالقوه ناشی از عمل Quercetin, Naringenin, Genistein, Baicalein و آنالوگ‌های کوئرستینی روی پروتئین‌ها، به عنوان بهترین آنالوگ‌های کوئرستینی مهم هستند. شکل شماره ۳، درصد زیست‌فعالی آنالوگ‌های با اثر مهاری بهتر را با توجه به اهداف پروتئینی انتخاب شده نشان می‌دهد. تجزیه و تحلیل نمودارهای دایره‌ای نشان داد که کینازها، آنزیم‌ها، پروتازها، اکسیدوردوکتازها، گیرنده‌های جفت‌شده با پروتئین خانواده A، سیتوکروم P450، هیدرولاز و لیازها اهداف اصلی پیش‌بینی شده برای همه ترکیبات پیشنهادی بودند؛ همچنین نمودار دایره‌ای Baicalein ۴ درصد پروتئین سیتوزولی و ۸ درصد گیرنده هسته ای و ناقل فعال اولیه را پیش‌بینی کرد. برای Genistein، نمودار دایره‌ای ۱۶ درصد گیرنده هسته ای و ۴ درصد ناقل فعال اولیه را نشان داد و برای Naringenin، نمودار دایره‌ای ۱۲ درصد گیرنده هسته ای و ۸ درصد ناقل فعال اولیه و ۴ درصد پروتئین ترشحی و ناقل الکتروشیمی را پیش‌بینی کرد. مکان‌های احتمالی هدف که ممکن است آنالوگ‌های کوئرستین انتخاب شده به آن‌ها متصل شوند، کیناز، اکسیدوردوکتاز، آنزیم‌ها و لیازها هستند که واکنش دارویی را بر این اساس تحریک می‌کنند؛ همچنین این تجزیه و تحلیل توضیحی برای استفاده از Quercetin و Naringenin، Genistein و Baicalein به عنوان مهارکننده‌های اصلی پروتاز SARS-CoV-2 ارائه می‌کند.

بحث و نتیجه‌گیری

با توجه به همه گیری کروناویروس در جهان و تلاش برای کشف دارو و واکسن مؤثری علیه بیماری کووید-۱۹، همچنان لازم است که درمان‌های جدیدی برای مقابله با عفونت ناشی از کروناویروس شناسایی گردد. در این مطالعه، سازوکار مهاری آنالوگ‌های کوئرستین روی آنزیم پروتاز اصلی کووید-۱۹ بررسی شد و نتایج داکینگ نشان داد که پروتاز اصلی نقش اساسی در تکثیر

و رونویسی کروناویروس دارد و به عنوان یک هدف درمانی بالقوه در نظر گرفته می‌شود؛ زیرا مهار آن می‌تواند از پیش روی ویروس جلوگیری کند.

پس از اعتبارسنجی دستورالعمل داکینگ، بررسی نتایج داکینگ آنالوگ‌های کوئرستین نشان داد که همه آنالوگ‌ها فضای مشابه با لیگاند N3 درون جایگاه فعال پروتاز اصلی را اشغال می‌کنند. بر اساس نتایج جدول شماره ۳ و شکل شماره ۲، دو معیار مهم در تعیین بهترین حالت داک شده، بیشترین (منفی ترین) انرژی اتصال آزاد تخمین زده شده و همچنین بیشترین برهمکنش‌های مناسب با آمینواسیدهای اصلی جایگاه فعال پروتاز اصلی هستند. نتایج حاصل از بررسی داروهای استاندارد به کار رفته به عنوان کنترل مثبت در جدول شماره ۳، بیانگر برهمکنش ریتوناویر و لوپیناویر به ترتیب با انرژی مهاری ۹/۲۰ و ۱۰/۶۸ - کیلوکالری بر مول، با جایگاه فعال آنزیم پروتاز اصلی بود. داروی ریتوناویر با آمینواسیدهای Thr25 و Glu166 پیوند هیدروژنی و با آمینواسیدهای Met49، His41، Met49 و His165 و Cys145 برهمکنش هیدروفوبي برقرار کرده است (شکل شماره ۴a). داروی لوپیناویر که در جایگاه فعال پروتاز اصلی قرار گرفته است، با آمینواسید Gln189 پیوند هیدروژنی و با آمینواسید His41 برهمکنش $\pi-\pi$ دارد و با آمینواسیدهای Phe140، Leu141، Met49، Met143 و His164 و Gly143 برهمکنش هیدروفوبي برقرار کرده است (شکل شماره ۴b).

بر اساس جدول شماره ۲، از میان ۲۰ آنالوگ کوئرستین، اثر مهاری ترکیبات Genistein، Baicalein و Quercetin و Naringenin به ترتیب با انرژی‌های مهاری ۱۳/۲۴، ۱۲/۹۲ و ۱۳/۵۴ - کیلوکالری بر مول، نسبت به داروهای استاندارد به کار رفته روی پروتاز اصلی قوی تر است؛ همچنین دیگر آنالوگ‌های کوئرستین با انرژی‌های مهاری ۱۰/۳۵ - تا ۱۲/۷۰ - کیلوکالری بر مول، اثر مهاری بهتری نسبت به داروهای استاندارد دارند؛ بنابراین می‌توان گفت، اثر مهاری آنالوگ‌های کوئرستین روی پروتاز اصلی، نسبت به

فلاؤنوئید با آمینواسیدهای Gly143، Ser144 و Cys145 و His163 است. ترکیب Genistein نیز مشابه Baicalein برهmekنش $\pi-\pi$ از طریق اتصال میان حلقه فنول ترکیب و حلقه ایمیدازول آمینواسید His41 دارد (شکل شماره ۴d). یکی از تفاوت های مهم این دو ترکیب در استخلاف های حلقه فلاؤنوئید است. در Genistein، حلقه فنیل در موقعیت ۳ و در Baicalein، حلقه فنیل در موقعیت ۲ حلقه فلاؤنوئید قرار گرفته است؛ بنابراین، حلقه فنول در موقعیت ۳ در Genistein روی جهت گیری فضایی ترکیب در جایگاه اتصال آنزیم مؤثر است و احتمالاً به ضرر دستگاه است و این امر می‌تواند یکی از علل کاهش انژرژی اتصال و کاهش اثر ضدویروس این ترکیب نسبت به Baicalein شود.

برای ترکیب Naringenin، نتایج داکینگ نشان داد که برهmekنش های عمدۀ این ترکیب مشابه Baicalein و Genistein، از نوع برهmekنش های هیدروفوب و پیوند هیدروژنی هستند. Naringenin توانایی تشکیل ۴ پیوند هیدروژنی توسط استخلاف های هیدروکسیل کربن های ۵ و ۷ و گروه کربونیل کربن ۴ حلقه فلاؤنوئید با آمینواسیدهای Gly143، Ser144، Cys145 و Arg188 را دارد (شکل شماره ۴e)؛ همچنین Naringenin از طریق اتصال میان حلقه فنول کربن ۳ حلقه فلاؤنوئید با حلقه ایمیدازول آمینواسید His41، برهmekنش $\pi-\pi$ برقرار کرده است. این ترکیب به علت وجود حلقه فنول و حلقه آلیاتیک در ساختار خود، در مقایسه با Baicalein اثر ضدویروس ضعیف تری را نشان می‌دهد و ساختار غیرقابل انعطاف پذیر دارد؛ بنابراین، با وجود برهmekنش های مشابه با آمینواسیدهای جایگاه فعال، اما انژرژی اتصال ضعیف تری نشان می‌دهد که احتمالاً کانفورمر نامناسب در فضای سه بعدی جایگاه فعال، باعث تضعیف برهmekنش ها شده است. مقدار لیپوفیلیستیه Naringenin LogP برابر ۰/۵۲ است. تقریباً برابر با لیپوفیلیستیه Genistein است؛ اما به سبب وجود حلقه آلیاتیک و ایجاد کانفورمر نامناسب در جایگاه فعال انژرژی، اتصال ضعیف تری را نشان می‌دهد. نتایج داکینگ

داروهای استاندارد بیشتر است.

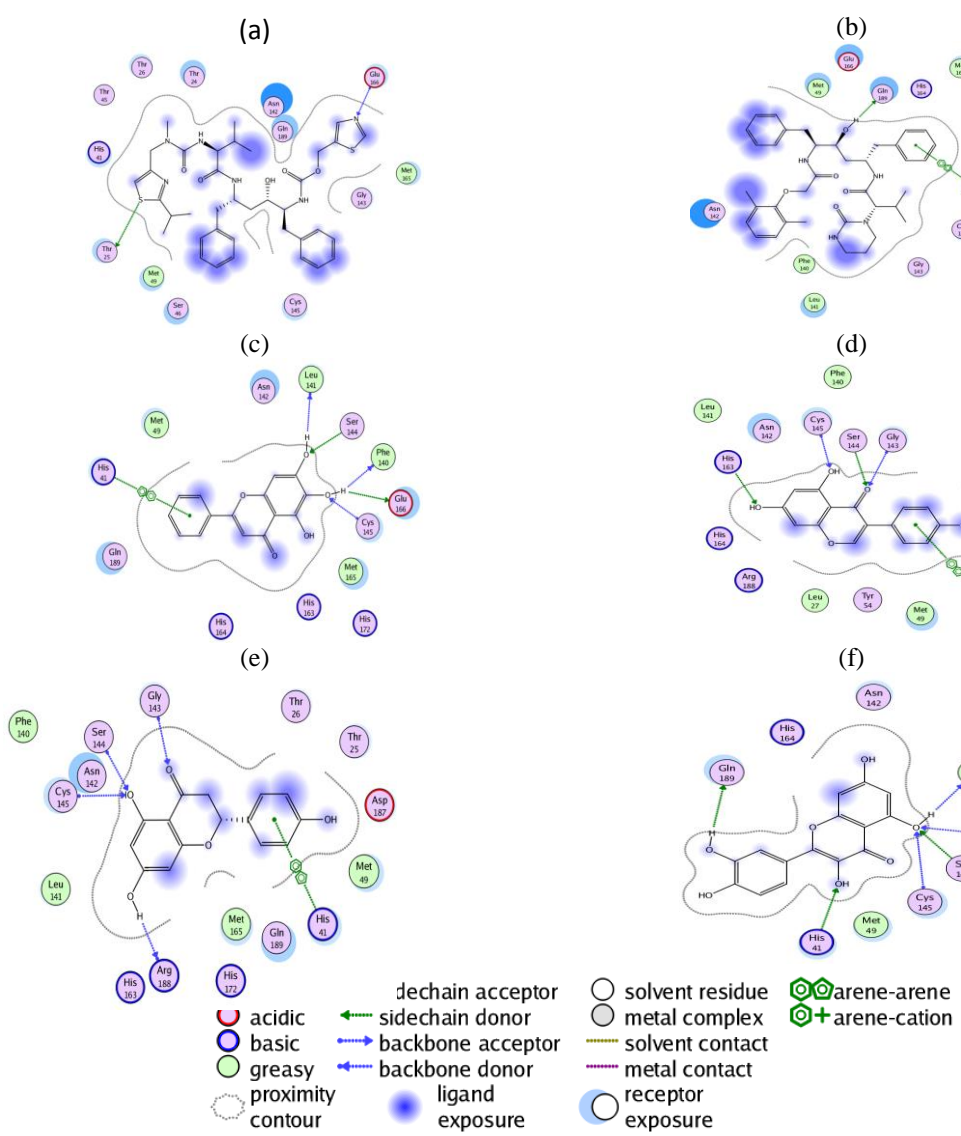
مطالعات داکینگ مولکولی نشان داد که در میان آنالوگ‌های کوئرستین، ترکیب Baicalein به آنزیم پروتاز اصلی با پیوند هیدروژنی و برهmekنش های هیدروفوبی متصل می‌گردد. استخلاف های هیدروکسیل در کربن های موقعیت ۶ و ۷ حلقه فلاؤنوئید با آمینواسیدهای Phe140، Leu141، Cys145، Ser144، Glu166 پیوند هیدروژنی تشکیل می‌دهند و این گروه های هیدروکسیل باعث افزایش میزان حلالیت این ترکیب می‌شوند و در صورت مصرف خوراکی برای انسان، جذب گوارشی مناسبی نشان می‌دهند. علاوه بر این، ترکیب Baicalein قادر به ایجاد برهmekنش $\pi-\pi$ است که این اتصال میان حلقه فنیل متصل به موقعیت ۲ حلقه فلاؤنوئید و حلقه ایمیدازول آمینواسید His41 ایجاد می‌گردد (شکل شماره ۴c). گفتنی است که این حلقه فنیل باعث افزایش لیپوفیلیستیه ترکیب می‌شود و لیپوفیلیستیه ترکیب Baicalein (LogP برابر ۳/۱۶) می‌تواند روی برهmekنش های هیدروفوبی با پروتاز اصلی تأثیر داشته باشد؛ همچنین حلقه فلاؤنوئید و فنیل ترکیب Baicalein با آمینواسیدهای Met165، Met49، Gln189 و His172، His164، His163 هیدروفوبی تشکیل می‌دهد.

ترکیب Genistein به سبب داشتن بخش های هیدروفیل (استخلاف هیدروکسیل) و هیدروفوب (حلقه آروماتیک)، توانایی تشکیل پیوندهای هیدروژنی و برهmekنش های هیدروفوبی با آمینواسیدهای جایگاه فعال آنزیم را دارد و یک ترکیب تقریباً هیدروفیل با LogP برابر ۲/۶۷ است. مقدار لیپوفیلیستیه این ترکیب کمتر از لیپوفیلیستیه Baicalein است؛ بنابراین، میزان حلالیت این ترکیب بیشتر است و جذب گوارشی بهتری را نشان می‌دهد. این ترکیب قادر به تشکیل پیوند هیدروژنی توسط استخلاف های هیدروکسیل کربن های ۵ و ۷ و گروه کربونیل کربن ۴ حلقه فلاؤنوئید و استخلاف هیدروکسیل گروه فنول در موقعیت کربن ۳ حلقه

فعال آنزیم می شود؛ همچنین این ترکیب کاندیدشدۀ با آمینواسیدهای Met49، Met165، His172، His164 و Asp187 برهمکنش های هیدرووفوبی برقرار می کند (شکل شمارۀ ۴f).

در بررسی نتایج به دست آمده مشخص شد، در مجموع، این ترکیبات کاندیدشدۀ فعالیت بیولوژیک، خواص فیزیکو شیمیایی و فعالیت مهاری خوب تا قوی را روی آنزیم پروتئاز اصلی کووید-۱۹ نشان می دهند که نتایج داکینگ هم این فعالیت ها را تأیید می کند. علاوه بر این، بررسی برهمکنش های داکینگ بیانگر آن است که

مولکولی و اثر ضدویروس کووید-۱۹ ترکیب Quercetin همبستگی خوبی با یکدیگر دارند و هر دو مقادیر مناسبی را نشان می دهند. این ترکیب در مقایسه با سایر آنالوگ های کوئرستینی و داروهای استاندارد، اثر ضدویروس و انرژی اتصال قوی تری را نشان می دهد. احتمالاً علت آن مربوط به هیدروفیلیسیته بالا (LogP برابر ۱/۵۴) و افزایش پیوندهای هیدروژنی این ترکیب از طریق استخلاف های هیدروکسیل با آمینواسیدهای Leu141، His41، Gln189، Ser144، Gly143 و Cys145 است که باعث جهت گیری فضایی مناسب تر این ترکیب در جایگاه



شکل شمارۀ ۴. نمایش برهمکنش های مجموعه لیگاند-پروتئین به صورت دو بعدی. a. ریتونافیر؛ b. لوپیناواریر؛ c. Genistein d. Baicalein e. Quercetin f. Naringenin

برای کروناویروس بررسی شدند که نتایج بیانگر اتصال‌های قوی آمینواسیدهای His41 و Cys145 پروتاز اصلی از طریق پیوند هیدروژنی و برهمکنش‌های هیدروفوب با ترکیبات بود (۳۱). در تحقیقی مشابه، عمرانی و همکاران (۲۰۲۱) اتصال مستحکم ترکیبات طبیعی با پروتاز اصلی ویروس و مهار آن را نشان دادند (۴۲).

نتایج این مطالعه مشخص کرد که از میان آنالوگ‌های کوئرستین، ترکیبات Naringenin، Genistein، Baicalein و Quercetin به علت ویژگی‌های فارماکوکیتیکی مناسب و سمی نبودن، خواص بیولوژیک مطلوب و امتیاز داکینگ منفی و اتصالات قوی با آنزیم می‌توانند باعث مهار پروتاز اصلی کووید-۱۹ شوند. هرچند انتظار می‌رود که با بررسی بیشتر و مطالعه دقیق‌تر این ترکیبات در شرایط *in vitro* بتوان از این ترکیبات طبیعی به عنوان مهارکننده‌های بالقوه در مهار آنزیم پروتاز اصلی و درمان کووید-۱۹ استفاده کرد.

تشکر و قدردانی

این مقاله حاصل طرح تحقیقاتی با کد مصوب ۳۳۶۴ و کد اخلاق IR.SKUMS.REC.1399.117 از IR.SKUMS.REC.1399.117 معاونت محترم تحقیقات و فناوری دانشگاه علوم پزشکی شهر کرد است. بدین‌وسیله از آن معاونت محترم و مرکز تحقیقات بیوشیمی بالینی، پژوهشکده علوم پایه سلامت دانشگاه علوم پزشکی شهر کرد نهایت قدردانی به عمل می‌آید.

تعارض منافع

طبق نظر نویسنده‌گان هیچ گونه تضاد منافعی در پژوهش حاضر وجود ندارد.

کد اخلاق: IR.SKUMS.REC.1399.117

References

- Halim SA, Waqas M, Khan A, Al-Harrasi A. In silico prediction of novel inhibitors of SARS-

آمینواسیدهای Met49, Phe140, Ser144, Gly143, Leu141, Met165 و بهویژه آمینواسیدهای کاتالیتیکی Cys145 و His41، نقش مهمی در برهمکنش آنالوگ‌های کوئرستین با آنزیم پروتاز اصلی دارد.

در سال ۲۰۲۰، آرورا و همکاران اثر ۲۱ ترکیب فلاونوئید با استفاده از داکینگ مولکولی و بررسی خصوصیات فیزیکوشیمیایی در مهار آنزیم پروتاز اصلی را نشان دادند. نتایج نشان داد که ترکیب Rutin با بالاترین اثری اتصال (۸/۷۰-کیلوکالری بر مول) با آمینواسیدهای سایت کاتالیزوری از قبیل Cys145, His41, Glu166, His163, Leu141 و His163 پروتکنش‌های مؤثری دارد (۳۸). در تحقیق اوویس و همکاران (۲۰۲۰)، خاصیت ضدویروسی فلاونوئیدهای گیاه *Salvadora presica* روی آنزیم پروتاز اصلی کووید-۱۹ با استفاده از داکینگ مولکولی بررسی شده است. نتایج مطالعه نشان داد که آمینواسیدهای Asn142, Cys145, His41, Met165, Leu141 و Gly143 نقش مهمی را در اتصال فلاونوئیدها به این پروتئین دارند (۳۹)؛ همچنین در سال ۲۰۲۰، چراک و همکاران به بررسی ترکیبات فلاونوئیدی گلیکوزیله شده به عنوان مهارکننده‌های پروتاز اصلی پرداختند و اظهار داشتند که ترکیب Quercetin-3-O-rhamnoside (۹/۷۰-کیلوکالری بر مول) را دارد و با آمینواسیدهای کلیدی Leu141, Phe140, Thr26 و Gly143 پیوند هیدروژنی برقرار کرده است (۴۰). در سال ۲۰۲۱، داس و همکاران به بررسی مهارکننده‌های پروتاز اصلی پرداختند و نتایج مطالعه آنان نشان داد که پروتاز اصلی با آمینواسیدهای کاتالیتیکی His41 و Cys145 می‌تواند نقش امیدوارکننده‌ای برای طراحی، توسعه و پیشرفت داروهای کروناویروس داشته باشد (۴۱). علاوه بر این، در سال ۲۰۲۱، رهمن و همکاران به بررسی ترکیبات طبیعی روی پروتاز اصلی با استفاده از روش‌های محاسباتی پرداختند. در این مطالعه، تعداد فراوانی از ترکیبات طبیعی

CoV-2 main protease through structure-based virtual screening and molecular dynamic

- simulation. *Pharmaceuticals* 2021;14:896. doi.org/10.3390/ph14090896
2. Kase Y, Okano H. Neurological pathogenesis of SARS-CoV-2 (COVID-19): from virological features to clinical symptoms. *Inflamm Regen* 2021;41:1-7. doi.org/10.1186/s41232-021-00165-8
 3. Rahbar-Karbasdehi E, Rahbar-Karbasdehi F. Clinical challenges of stress cardiomyopathy during coronavirus 2019 epidemic. *Cell Mol Biomed Rep* 2021;1: 88-90. doi.org/10.55705/cmbr.2021.145790.1018
 4. Fazelinasab B. Biological Evaluation Of Coronaviruses And The Study Of Molecular Docking, Linalool, And Thymol As Orf1ab Protein Inhibitors And The Role Of Sars-CoV-2 Virus In Bioterrorism. *J Ilam Uni Med Sci* 2021; 28:77-96. doi.org/10.29252/sjimu.28.6.77
 5. Guo Y-R, Cao Q-D, Hong Z-S, Tan Y-Y, Chen S-D, Jin H-J, et al. The origin, transmission and clinical therapies on coronavirus disease 2019 (COVID-19) outbreak—an update on the status. *Mil Med Res* 2020;7:1-10. doi.org/10.1186/s40779-020-00240-0
 6. Zhou P, Yang X-L, Wang X-G, Hu B, Zhang L, Zhang W, et al. A pneumonia outbreak associated with a new coronavirus of probable bat origin. *Nature* 2020;579:270-73. doi.org/10.1038/s41586-020-2012-7
 7. Arbour N, Day R, Newcombe J, Talbot PJ. Neuroinvasion by human respiratory coronaviruses. *J Virol* 2000;74:8913-21. doi.org/10.1128/JVI.74.19.8913-8921.2000
 8. Van Der Hoek L, Pyrc K, Jebbink MF, Vermeulen-Oost W, Berkhout RJ, Wolthers KC, et al. Identification of a new human coronavirus. *Nat Med* 2004;10:368-73. doi.org/10.1038/nm1024
 9. Yang D, Leibowitz JL. The structure and functions of coronavirus genomic 3' and 5' ends. *Virus Res* 2015;206:120-33. doi.org/10.1016/j.virusres.2015.02.025
 10. Drosten C, Günther S, Preiser W, Van Der Werf S, Brodt H-R, Becker S, et al. Identification of a novel coronavirus in patients with severe acute respiratory syndrome. *N Engl J Med* 2003; 348:1967-76. doi.org/10.1056/NEJMoa030747
 11. Cui J, Li F, Shi Z-L. Origin and evolution of pathogenic coronaviruses. *Nat Rev Microbiol* 2019;17:181-92. doi.org/10.1038/s41579-018-0118-9
 12. Zaki AM, Van Boheemen S, Bestebroer TM, Osterhaus AD, Fouchier RA. Isolation of a novel coronavirus from a man with pneumonia in Saudi Arabia. *N Engl J Med* 2012;367:1814-20. doi.org/10.1056/NEJMoa1211721
 13. Yadav R, Chaudhary JK, Jain N, Chaudhary PK, Khanra S, Dhamija P, et al. Role of structural and non-structural proteins and therapeutic targets of SARS-CoV-2 for COVID-19. *Cells* 2021;10:821. doi.org/10.3390/cells10040821
 14. Chen W, Wang Z, Wang Y, Li Y. Natural bioactive molecules as potential agents against SARS-CoV-2. *Front Pharmacol* 2021;12. doi.org/10.3389/fphar.2021.702472
 15. Kumar A, Choudhir G, Shukla SK, Sharma M, Tyagi P, Bhushan A, et al. Identification of phytochemical inhibitors against main protease of COVID-19 using molecular modeling approaches. *J Biomol Struct Dyn* 2021;39:3760-70. doi.org/10.1080/07391102.2020.1772112
 16. Hussein R, Elkhair H. Molecular docking identification for the efficacy of some zinc complexes with chloroquine and hydroxychloroquine against main protease of COVID-19. *J Mol Struct* 2021;1231:129979. doi.org/10.1016/j.molstruc.2021.129979
 17. Gyebi GA, Elfiky AA, Ogunyemi OM, Ibrahim IM, Adegunloye AP, Adebayo JO, et al. Structure-based virtual screening suggests inhibitors of 3-chymotrypsin-like protease of SARS-CoV-2 from Vernonia amygdalina and Occimum gratissimum. *Comput Biol Med* 2021;136:104671. doi.org/10.1016/j.combiomed.2021.104671
 18. Fontanet A, Autran B, Lina B, Kiely MP, Karim SSA, Sridhar D. SARS-CoV-2 variants and ending the COVID-19 pandemic. *The Lancet* 2021;397:952-54. doi.org/10.1016/S0140-6736(21)00370-6
 19. Volkan E. COVID-19: Structural considerations for virus pathogenesis, therapeutic strategies and vaccine design in the Novel SARS-CoV-2 Variants Era. *Mol Biotechnol* 2021;63:885-97. doi.org/10.1007/s12033-021-00353-4
 20. Dai W, Zhang B, Jiang X-M, Su H, Li J, Zhao Y, et al. Structure-based design of antiviral drug candidates targeting the SARS-CoV-2 main protease. *Science* 2020;368:1331-5. doi.org/10.1126/science.abb4489
 21. Zandi H, Harismah K. Computer-based tools for structural characterizations and activity specifications of natural products: a quick review. *Lab-in-Silico* 2021;2:50-54. doi.org/10.22034/labinsilico21021050
 22. Romano JD, Tatonetti NP. Informatics and computational methods in natural product drug discovery: a review and perspectives. *Front Genet* 2019;10:368. doi.org/10.3389/fgene.2019.00368
 23. Orhan IE, Senol Deniz FS. Natural products as potential leads against coronaviruses: could they be encouraging structural models against SARS-CoV-2? *Nat Prod Bioprospect* 2020;10:171-86. doi.org/10.1007/s13659-020-00250-4
 24. Pohl F, Kong Thoo Lin P. The potential use of plant natural products and plant extracts with antioxidant properties for the prevention/treatment of neurodegenerative diseases: in vitro, in vivo and clinical trials. *Molecules* 2018;23:3283. doi.org/10.3390/molecules23123283
 25. Jo S, Kim S, Shin DH, Kim M-S. Inhibition of SARS-CoV 3CL protease by flavonoids. *J Enzyme Inhib Med Chem* 2020;35:145-51. doi.org/10.1080/14756366.2019.1690480
 26. Rupasinghe H. Special Issue “flavonoids and their disease prevention and treatment potential”: Recent advances and future perspectives. *Molecules* 2020;25:4746. doi.org/10.3390/molecules 25204746
 27. Alzaabi MM, Hamdy R, Ashmawy NS, Hamoda AM, Alkhayat F, Khademi NN, et al. Flavonoids are promising safe therapy against COVID-19. *Phytochem Rev* 2021;1-22. doi.org/10.1007/s11101-021-09759-z
 28. Singh S, Sk MF, Sonawane A, Kar P, Sadhukhan S. Plant-derived natural polyphenols as potential

- antiviral drugs against SARS-CoV-2 via RNA-dependent RNA polymerase (RdRp) inhibition: an in-silico analysis. *J Biomol Struct Dyn* 2021;39:6249-64. doi.org/10.1080/07391102.2020.1796810
29. Tallei TE, Tumilaar SG, Niode NJ, Kepel BJ, Idroes R, Effendi Y, et al. Potential of plant bioactive compounds as SARS-CoV-2 main protease (Mpro) and spike (S) glycoprotein inhibitors: a molecular docking study. *Scientifica* 2020;2020. doi.org/10.1155/2020/6307457. eCollection 2020
 30. Priyandoko D, Widowati W, Subangkit M, Jasaputra D, Wargaseta T, Sholihah I, et al. Molecular docking study of the potential relevance of the natural compounds isoflavone and myricetin to COVID-19. *Int J Bioautomation* 2021;25:271. doi.org/10.7546/ijba.2021.25.3.000796
 31. Rehman MT, AlAjmi MF, Hussain A. Natural compounds as inhibitors of SARS-CoV-2 main protease (3CLpro): A molecular docking and simulation approach to combat COVID-19. *Curr Pharm Des* 2021;27:3577-89. doi.org/10.2174/1381612826999201116195851
 32. Mouffouk C, Mouffouk S, Hambaba L, Haba H. Flavonols as potential antiviral drugs targeting SARS-CoV-2 proteases (3CLpro and PLpro), spike protein, RNA-dependent RNA polymerase (RdRp) and angiotensin-converting enzyme II receptor (ACE2). *Eur J Pharmacol* 2021;891:173759. doi.org/10.1016/j.ejphar.2020.173759
 33. Alrasheid AA, Babiker MY, Awad TA. Evaluation of certain medicinal plants compounds as new potential inhibitors of novel corona virus (COVID-19) using molecular docking analysis. *In Silico Pharmacol* 2021;9:1-7. doi.org/10.1007/s40203-020-00073-8
 34. Lipinski CA. Drug-like properties and the causes of poor solubility and poor permeability. *J Pharmacol Toxicol Methods* 2000; 44: 235-49. doi.org/10.1016/s1056-8719(00)00107-6
 35. Egan WJ, Merz KM, Baldwin JJ. Prediction of drug absorption using multivariate statistics. *J Med Chem* 2000;43:3867-77. doi.org/10.1021/jm000292e
 36. Goel RK, Singh D, Lagunin A, Poroikov V. PASS-assisted exploration of new therapeutic potential of natural products. *Med Chem Res* 2011;20:1509-14. doi.org/10.1007/s00044-010-9398-y
 37. Muegge I, Heald SL, Brittelli D. Simple selection criteria for drug-like chemical matter. *J Med Chem* 2001;44:1841-46. doi.org/10.1021/jm015507e
 38. Arora S, Lohiya G, Moharir K, Shah S, Yende S. Identification of potential flavonoid inhibitors of the SARS-CoV-2 main protease 6YNQ: a molecular docking study. *Digital Chin Med* 2020;3:239-48. doi.org/10.1016/j.dcm.2020.12.003
 39. Owis AI, El-Hawary MS, El Amir D, Aly OM, Abdelmohsen UR, Kamel MS. Molecular docking reveals the potential of *Salvadora persica* flavonoids to inhibit COVID-19 virus main protease. *RSC Adv* 2020;10:19570-75. doi.org/10.1039/D0RA03582C
 40. Cherrak SA, Merzouk H, Mokhtari-Soulimane N. Potential bioactive glycosylated flavonoids as SARS-CoV-2 main protease inhibitors: A molecular docking and simulation studies. *PLoS One* 2020;15:e0240653. doi.org/10.1371/journal.pone.0240653
 41. Das S, Sarmah S, Lyndem S, Singha Roy A. An investigation into the identification of potential inhibitors of SARS-CoV-2 main protease using molecular docking study. *J Biomol Struct Dyn* 2021;39:3347-57. doi.org/10.1080/07391102.2020.1763201
 42. Omrani M, Bayati M, Mehrbod P, Bardazard KA, Nejad-Ebrahimi S. Natural products as inhibitors of COVID-19 main protease—A virtual screening by molecular docking. *Pharm Sci* 2021;27(Covid-19):S135-48. doi.org/10.34172/PS.2021.1